

浅水長波流れ解析に対する Discontinuous Galerkin 有限要素法 における Limiter 処理の検討

中央大学大学院	学生員	伊藤 翔
中央大学大学院	学生員	凌 国明
中央大学大学院	学生員	花澤 広貴
中央大学	正会員	櫻山 和男

1. はじめに

津波や高潮等の数値解析には、双曲型の方程式である浅水長波方程式が広く用いられており、段波や衝撃波等たびたび不連続的な解を有する。このことから近年、要素境界で不連続な解を許容するとともに、保存性を満足する Discontinuous Galerkin 有限要素法 (DG 法) が、浅水長波方程式の高精度な解法として注目されている。

本研究では、この DG 法に着目し、浅水長波方程式に対して空間方向の離散化に三角形要素を用いた DG 法を適用し、1次、2次補間の DG 法において Limiter 処理の効果の検討を行う。なお、時間方向の離散化には Runge-Kutta 法を適用する。

2. 数値解析手法

(1) 基礎方程式

基礎方程式として用いる浅水長波方程式は、保存形で表示すると以下ようになる。

$$\frac{\partial U}{\partial t} + \frac{\partial F(U)}{\partial x} + \frac{\partial G(U)}{\partial y} = 0, \quad (1)$$

ここで、関数 U は保存変数、 $F(U)$ 、 $G(U)$ は流束関数であり、それぞれ以下のように定義される。

$$U = [h \quad uh \quad vh]^T, \quad (2)$$

$$F(U) = [uh \quad u^2h + \frac{1}{2}gh^2 \quad uwh]^T, \quad (3)$$

$$G(U) = [vh \quad uwh \quad v^2h + \frac{1}{2}gh^2]^T. \quad (4)$$

ここで、 h は全水深、 u 、 v は x 、 y 方向の断面平均流速、 g は重力加速度である。

(2) 空間方向の離散化

式 (1) に対し、試験関数 r を掛けて積分を行い、第 2,3 項に対し、Gauss の発散定理を用いると以下の式が得られる。

$$\int_{\Omega_e} \frac{\partial U}{\partial t} r d\Omega - \int_{\Omega_e} F(U) \frac{\partial r}{\partial x} d\Omega + \int_{\partial\Omega_e} F \cdot n_x r ds - \int_{\Omega_e} G(U) \frac{\partial r}{\partial y} d\Omega + \int_{\partial\Omega_e} G \cdot n_y r ds = 0. \quad (5)$$

ここで、 n_x 、 n_y は単位法線ベクトルの x 、 y 方向成分である。また、物理量と試験関数の近似式は以下に示す線形和で表される。

$$U \approx U_h = \sum_{i=0}^N U_i(t) \phi_i(x, y), \quad (6)$$

$$r \approx r_h = \sum_{j=0}^N \alpha_j \phi_j(x, y), \quad (7)$$

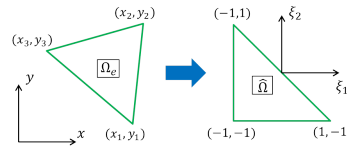


図-1 座標変換

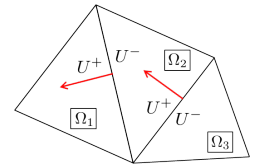


図-2 U^+ , U^- の定義

ここで、 $U_i(t)$ は自由度、 $\phi(x, y)$ は Dubiner の基底関数¹⁾、 α_i は任意定数である。これらを式 (5) に代入すると次式が得られる。

$$\int_{\Omega_e} \frac{\partial U_i}{\partial t} \phi_i \phi_j d\Omega - \int_{\Omega_e} F(U_i \phi_i) \frac{\partial \phi_j}{\partial x} d\Omega + \int_{\partial\Omega_e} F(U_i \phi_i) \cdot n_x \phi_j ds - \int_{\Omega_e} G(U_i \phi_i) \frac{\partial \phi_j}{\partial y} d\Omega + \int_{\partial\Omega_e} G(U_i \phi_i) \cdot n_y \phi_j ds = 0. \quad (8)$$

式 (8) の各項において積分を評価するために、Gauss の数値積分法を用いる。この際、図-1 に示すように、一般化座標への座標変換を行う。

要素境界において保存性を満足させるために、数値流束を導入する。本研究では、次式で定義される Local Lax-Friedrichs Flux²⁾ を用いる。

$$\hat{E} = \frac{1}{2} \left\{ \left(E_n(U^+) + E_n(U^-) \right) - a_{max} (U^+ - U^-) \right\}. \quad (9)$$

ここで、 E_n 、 a_{max} はそれぞれ以下のように定義される。

$$E_n = F n_x + G n_y, \quad (10)$$

$$a_{max} = \max \left(|\lambda_1(U^+)|, |\lambda_2(U^+)|, |\lambda_3(U^+)|, |\lambda_1(U^-)|, |\lambda_2(U^-)|, |\lambda_3(U^-)| \right), \quad (11)$$

$$\lambda_1 = un_x + vn_y - \sqrt{gh}, \quad (12)$$

$$\lambda_2 = un_x + vn_y, \quad (13)$$

$$\lambda_3 = un_x + vn_y + \sqrt{gh}. \quad (14)$$

また、要素境界における不連続な物理量 U^+ 、 U^- は、図-2 に示すように、法線ベクトルが向く方向の値を U^+ 、もう一方の値を U^- と定義する。

以上により、半離散化方程式が以下のように得られる。

$$M \dot{U}_i = A_f F + A_g G - B \hat{E}. \quad (15)$$

ここで、 M 、 A_f 、 A_g 、 B はそれぞれ質量行列、流束 F 、 G 項の係数行列、数値流束 \hat{E} 項の係数行列である。

KeyWords: 津波, 浅水長波方程式, Discontinuous Galerkin 法, Runge-Kutta 法, Limiter 処理

連絡先: 〒112-8551 東京都文京区春日 1-13-27 TEL 03-3817-1808 E-mail s.ito@civil.chuo-u.ac.jp

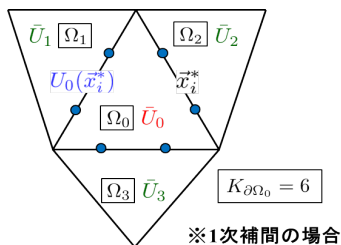


図-3 Limiter 処理に関する変数

(3) 時間方向の離散化

式 (15) の質量行列 M は, Dubiner の基底関数が直交性を有するために, 対角行列となる. ゆえに, 陽的解法を用いることができる. 本研究では, $p + 1$ 段階, $p + 1$ 次の Runge-Kutta 法を用いる. ここで, p は補間次数である.

(4) Limiter 処理

数値振動を抑えるために, 各要素において, 物理量 U の近似式である式 (6) に対し, Krivodonova 等によって提案された以下に示す Limiter 処理³⁾を導入する.

$$U_h(t, \vec{x}) = U_1(t)\phi_1(\vec{x}) + \alpha[U_2(t)\phi_2(\vec{x}) + U_3(t)\phi_3(\vec{x})], \quad (16)$$

$$\alpha = \min_{1 \leq i \leq K_{\partial\Omega_0}} \max(\alpha_i, 0), \quad (17)$$

$$\alpha_i = \begin{cases} \frac{M - \bar{U}_0}{U_0(\vec{x}_i^*) - U_0} & (U_0(\vec{x}_i^*) - M > 0) \\ \frac{m - \bar{U}_0}{U_0(\vec{x}_i^*) - U_0} & (U_0(\vec{x}_i^*) - m < 0) \\ 1 & (otherwise). \end{cases} \quad (18)$$

ここで, 図-3に示すように, $K_{\partial\Omega_0}$ は着目要素 Ω_0 の辺上の積分点の総数(各辺における積分点数は補間次数 + 1 個), \vec{x}_i^* は辺上の積分点の座標, $U_0(\vec{x}_i^*)$ は辺上の積分点における物理量, \bar{U}_0 は着目要素 Ω_0 の物理量の平均値, M と m はそれぞれ隣接要素の物理量の平均値 $\bar{U}_{1,2,3}$ の中での最大値と最小値である.

3. 数値解析例

1次, 2次補間の DG 法における Limiter 処理の効果の検討を行うために, 数値解析例として水路中心より左側の初期水深を 1.0m, 右側の初期水深を 0.4m と仮定した段波問題を取り上げる.

(1) 解析条件

メッシュ幅 Δx は 0.1m, Δy は 0.2m, 両壁面で slip 条件とし, 微小時間増分量は 0.001s とする.

(2) 解析結果

図-4は1.0s後の水面形状と流速分布を, 厳密解と1次, 2次補間の DG 法において Limiter 処理の有無での結果を比較したものである. また, 図-5, 6は図-4における A, B, C, D 領域を拡大したものである. まず, 勾配が滑らかである A, C 領域における結果より, 1次, 2次補間による解析のどちらも, Limiter 処理を導入しない場合は, 厳密解と良い一致を示していることが確認できる. 一方, Limiter 処理を導入した場合は, 過度ななまりが生じていることが確認できる. 次に, 不連続的な領域である B, D 領域における結果より, 1次, 2次補間による解析のどちらも, Limiter 処理を導入しない場合は, 不連続面の勾配を精度よく表現

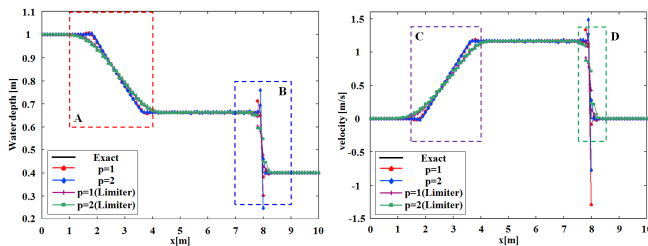


図-4 1.0s後の水面形状(左図)と流速分布(右図)

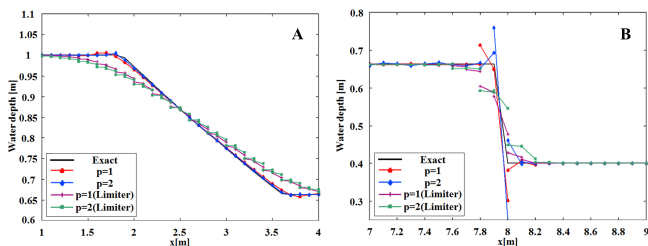


図-5 1.0s後の水面形状の A 領域(左図)と B 領域(右図)

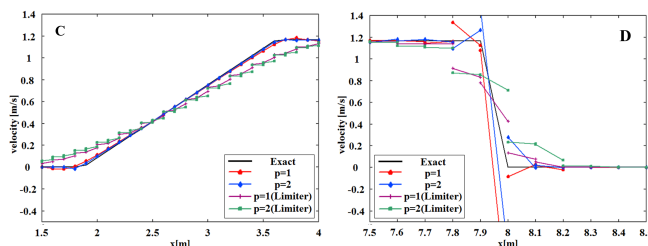


図-6 1.0s後の流速分布の C 領域(左図)と D 領域(右図)

できているが, 数値振動が大きく現れていることが確認できる. Limiter 処理を導入した場合は, 数値振動が抑えられていることが確認できる. 以上のことから, より高精度な解析結果を得るためには, 不連続的な領域の特定と, 特定した領域のみへの Limiter 処理の導入が必要であるといえる.

4. おわりに

本研究では, 浅水長波方程式に対して DG 法を適用し, 段波問題において1次, 2次補間の DG 法における Limiter 処理の効果の検討を行い, 以下の結論を得た.

- 勾配が滑らかな領域においては, 1次, 2次補間のどちらにおいても Limiter 処理の導入により, 過度ななまりが生じることが確認できた.
- 不連続的な領域においては, 1次, 2次補間のどちらにおいても Limiter 処理の導入により, 数値振動が抑えられることが確認できた.

今後の課題としては, 不連続的な領域を特定する指標の導入と, 特定した領域のみへの Limiter 処理の導入等が挙げられる.

参考文献

- 1) M. Dubiner : Spectral Methods on Triangles and Other Domains, *Sci. Comput.*, Vol.6, Issue.4, pp.345-390, 1991.
- 2) B. Cockburn, C.W. Shu : The Runge-Kutta discontinuous Galerkin method for conservation laws V: multidimensional systems, *Comput. Phys.*, Vol.141, Issue.2, pp.199-224, 1998.
- 3) L. Krivodonova, J. Xin, J. F. Remacle, N. Chevaugeon, J. E. Flacherty : Shock detection and limiting with discontinuous Galerkin methods for hyperbolic conservation laws, *Applied Numerical Mathematics*, Vol.48, Issue.3-4, pp.323-338, 2004.